

使用解耦自然正交补的串联多体系统动力学建模

S.K. Saha

Department of Mechanical Engineering,
I.I.T., Delhi, Hauz Khas,
New Delhi, 110 016, India
email: saha@mech.iitd.ernet.in

本文推导了在串联运动链 (*serial kinematic chain*) 中由刚体组成的串联多体系统的受约束动力学方程。首先本文得到了解耦刚体的运动的牛顿-欧拉方程; 然后, 通过和连接体对应的解耦自然正交补矩阵 (*DeNOC Matrices*), 得到运动的欧拉-拉格朗日独立方程。*DeNOC*本质上是已经介绍过的自然正交补 (*Natural Orthogonal Complement, NOC*) 矩阵的解耦形式。其中使用后者 (*NOC*) 可以分别得到迭代的 n 阶 (n 是系统的自由度) 逆运动学算法和 n^3 阶的正运动学算法; 而使用前者 (*DeNOC*) 可以得到上述两个问题的迭代 n 阶算法。 n 阶算法不仅运算效率较高, 而且还有较好的数值稳定性。特别在正运动学和仿真中, 系统的加速度通过动力学方程得到, 然后再进行数值积分得到速度和位移。上述算法还通过一个三连杆-三自由度平面机械臂和一个六自由度的 *Stanford Arm* 进行了演示。

1 定义

参考多体串联系统或者串联机械臂 Fig. 1, 具有一个固定的“基座”和 n 个由 #1, ..., # n 编号的运动刚体, 由 n 个一自由度的运动副或称关节 (平动或者转动关节) 耦合, 在图中由 1, ..., n 进行标记。第 i 个关节将第 i 个刚体和第 $(i-1)$ 个刚体耦合。参见第 i 个刚体运动的 Fig. 2, 定义下面的量。

\mathbf{t}_i 和 \mathbf{n}_i : 第 i 个关节的六维向量 twist 和 wrench, 即:

$$\mathbf{t}_i \equiv \begin{bmatrix} \boldsymbol{\omega}_i \\ \mathbf{v}_i \end{bmatrix} \quad \text{and} \quad \mathbf{w}_i \equiv \begin{bmatrix} \mathbf{n}_i \\ \mathbf{f}_i \end{bmatrix} \quad (1)$$

其中的 $\boldsymbol{\omega}_i$ 和 \mathbf{v}_i 是第 i 个关节质心 C_i 的三维的角速度和线速度, 分别在 Fig. 2 中所示。而 \mathbf{n}_i 和 \mathbf{f}_i 分别是作用在质心 C_i 上的力矩和力的三维矢量。

$\boldsymbol{\Omega}_i$ 和 \mathbf{M}_i : 第 i 个刚体的 6×6 的角速度和质量矩阵, 记作

$$\boldsymbol{\Omega}_i \equiv \begin{bmatrix} \boldsymbol{\omega}_i \times \mathbf{1} & \mathbf{0} \\ \mathbf{0} & \boldsymbol{\omega}_i \times \mathbf{1} \end{bmatrix} \quad \text{and} \quad \mathbf{M}_i \equiv \begin{bmatrix} \mathbf{I}_i & \mathbf{0} \\ \mathbf{0} & m_i \mathbf{1} \end{bmatrix} \quad (2)$$

其中的 $\boldsymbol{\omega}_i \times \mathbf{1}$ 是和 $\boldsymbol{\omega}_i$ 关联的 3×3 的叉乘张量, 将其作用于一个三维笛卡尔矢量 \mathbf{x} 将得到叉积矢量, 即 $(\boldsymbol{\omega}_i \times \mathbf{1})\mathbf{x} \equiv \boldsymbol{\omega}_i \times \mathbf{x}$ 。此外, \mathbf{I}_i 和 m_i 分别是关于质心 C_i 的 3×3 惯性张量和第 i 个刚体的质量, $\mathbf{1}$ 和 $\mathbf{0}$ 是三维的单位矩阵和零矩阵。因此, $\mathbf{1}$ 和 $\mathbf{0}$ 的维度应该理解为与它们出现的矩阵表达式的维数相匹配的维数。

\mathbf{t} 和 \mathbf{w} : 广义的 twist 和 wrench 的 $6n$ 维的向量, 即:

$$\mathbf{t} \equiv [\mathbf{t}_1^T, \dots, \mathbf{t}_n^T]^T \quad \text{and} \quad \mathbf{w} \equiv [\mathbf{w}_1^T, \dots, \mathbf{w}_n^T]^T \quad (3)$$

其中的 \mathbf{t}_i 和 \mathbf{w}_i 在 Eq. 1 中定义。

$\boldsymbol{\Omega}$ 和 \mathbf{M} : 广义的角速度和质量矩阵, 记作:

$$\boldsymbol{\Omega} \equiv \text{diag} [\boldsymbol{\Omega}_1, \dots, \boldsymbol{\Omega}_n] \quad \text{and} \quad \mathbf{M} \equiv \text{diag} [\mathbf{M}_1, \dots, \mathbf{M}_n] \quad (4)$$

其中的 $\boldsymbol{\Omega}_i$ 和 \mathbf{M}_i 在 Eq. 2 中定义。

$\dot{\boldsymbol{\theta}}$: n 维的关节速率的 independent 的矢量, 记作:

$$\dot{\boldsymbol{\theta}} \equiv [\dot{\theta}_1, \dots, \dot{\theta}_n] \quad (5)$$

其中的 θ_i 是第 i 个关节的位移, 如 Fig. 3 中所示。

2 使用 DeNOC 进行动力学建模

对于一个如 Fig. 1 中所示的串联机械系统, 使用 DeNOC 矩阵得到运动的动力学模型的步骤在下面给出:

2.1 计算运动的无约束牛顿-欧拉 (Newton-Euler) 方程。

a) 由 Fig. 2, 运动的牛顿欧拉方程为:

$$\mathbf{I}_i \dot{\boldsymbol{\omega}}_i + \boldsymbol{\omega}_i \times \mathbf{I}_i \boldsymbol{\omega}_i = \mathbf{n}_i \quad (6a)$$

$$m_i \mathbf{v}_i = \mathbf{f}_i \quad (6b)$$

其中 \mathbf{n}_i 和 \mathbf{f}_i 是关于质心 C_i 和作用于质心 C_i 的力矩和力。由 Eq. 1 和 Eq. 2 的定义, 上述的六个标量方程可以写作如下紧凑形式:

$$\mathbf{M}_i \dot{\mathbf{t}}_i + \dot{\mathbf{M}}_i \mathbf{t}_i = \mathbf{w}_i \quad (7)$$

其中 6 维向量 \mathbf{t}_i 和 6×6 的矩阵 \mathbf{M}_i 分别是 \mathbf{t}_i 和 \mathbf{M}_i 关于时间的微分, 上述微分量定义为:

$$\dot{\mathbf{t}}_i \equiv \begin{bmatrix} \dot{\boldsymbol{\omega}}_i \\ \dot{\mathbf{v}}_i \end{bmatrix} \quad \text{and} \quad \dot{\mathbf{M}}_i \equiv \begin{bmatrix} \boldsymbol{\omega}_i \times \mathbf{I}_i & \mathbf{0} \\ \mathbf{0} & \mathbf{0} \end{bmatrix} \quad (8)$$

b) 对于 $i = 1, \dots, n$, 写出 Eq. 7, 可以得到整个系统的 $6n$ 个非耦合标量方程, 由下面的形式给出:

$$\dot{\mathbf{M}} \mathbf{t} + \mathbf{M} \dot{\mathbf{t}} = \mathbf{w} \quad (9)$$

其中的 $\dot{\mathbf{t}}$ 和 $\dot{\mathbf{M}}$ 分别是广义 twist 和广义质量的微分, 即:

$$\dot{\mathbf{t}} \equiv [\dot{\mathbf{t}}_1^T, \dots, \dot{\mathbf{t}}_n^T]^T \quad \text{and} \quad \dot{\mathbf{M}} \equiv \text{diag} [\dot{\mathbf{M}}_1, \dots, \dot{\mathbf{M}}_n] \quad (10)$$

其中的 $\dot{\mathbf{t}}_i$ 和 $\dot{\mathbf{M}}_i$ 在 Eq. 8 中定义。

2.2 运动学约束推导。

a) 下面推导由运动副决定的运动约束 (如由第 i 个旋转关节耦合的第 i 个和第 j 个连杆之间的速度约束), 如 Fig. 3 中所示, 运动学约束可以表述为:

$$\boldsymbol{\omega}_i = \boldsymbol{\omega}_j + \dot{\theta}_i \mathbf{e}_i \quad (11a)$$

$$\mathbf{v}_i = \mathbf{v}_j + \boldsymbol{\omega}_j \times \mathbf{r}_j + \boldsymbol{\omega}_i \times \mathbf{d}_i \quad (11b)$$

原文: S. Saha, 'Dynamics of Serial Multibody Systems Using the Decoupled Natural Orthogonal Complement Matrices', Journal of Applied Mechanics-transactions of The ASME - J APPL MECH, vol. 66, Dec. 1999, doi: 10.1115/1.2791809. 本文介绍了使用 DeNOC 方法进行串联系统动力学建模方法, 这里主要翻译 2 至 4 章, 介绍 DeNOC 方法的主要内容。对于译者缺少知识储备的部分保留原文。

上述六个标量方程可以写作以下紧凑形式:

$$\mathbf{t}_i = \mathbf{B}_{ij}\mathbf{t}_j + \mathbf{p}_i\dot{\theta}_i \quad (12)$$

其中的 6×6 矩阵 \mathbf{B}_{ij} 和六维向量 \mathbf{p}_i 由下面的式子定义:

$$\mathbf{B}_{ij} \equiv \begin{bmatrix} \mathbf{1} & \mathbf{0} \\ \mathbf{c}_{ij} \times \mathbf{1} & \mathbf{1} \end{bmatrix} \quad \text{and} \quad \mathbf{p}_i \equiv \begin{bmatrix} \mathbf{e}_i \\ \mathbf{e}_i \times \mathbf{d}_i \end{bmatrix} \quad (13)$$

$\mathbf{c}_{ij} \times \mathbf{1}$ 是和向量 \mathbf{c}_{ij} 关联的叉积张量, 和Eq. 2中定义的类型。如Fig. 3中所示, 向量 \mathbf{c}_{ij} 由 $\mathbf{c}_{ij} \equiv -\mathbf{d}_i - \mathbf{r}_j$ 给出。值得一提的是矩阵 \mathbf{B}_{ij} 和向量 \mathbf{p}_i 有以下理解:

- 对于两个刚性连接的运动物体 $\#i$ 和 $\#j$, 矩阵 \mathbf{B}_{ij} 将twist从 $\#j$ 迁移到 $\#i$, 因此矩阵 \mathbf{B}_{ij} 称为twist迁移矩阵 (twist propagation matrix), 它具有以下性质:

$$\mathbf{B}_{ij}\mathbf{B}_{jk} = \mathbf{B}_{ik}, \quad \mathbf{B}_{ii} = \mathbf{1}, \quad \text{and} \quad \mathbf{B}_{ij}^{-1} = \mathbf{B}_{ji} \quad (14)$$

矩阵 \mathbf{B}_{ij} 即为 [1]中的状态转移矩阵。

- 向量 \mathbf{p}_i 和第 i 个关节有关。因此, \mathbf{p}_i 是关节速度迁移矩阵 (joint-rate propagation vector), 依赖于关节的种类。例如, Eq. 13是针对Fig. 3中的旋转关节; 对于伸缩关节, 向量 \mathbf{p}_i 的表达式为:

$$\mathbf{p}_i \equiv \begin{bmatrix} \mathbf{0} \\ \mathbf{e}_i \end{bmatrix} \quad (15)$$

其中的 \mathbf{e}_i 是平行于线运动的单位向量。相对应地, Eq. 12的 $\dot{\theta}_i$ 将意味着线速度。这里不再讨论其他种类的关节, 如球形和螺旋关节, 因为它们可以被视作伸缩关节和旋转关节的组合。

b) 对 $i = 1, \dots, n$ 的Eq. 12, 可以紧凑地写作:

$$\mathbf{t} = \mathbf{N}\dot{\boldsymbol{\theta}}, \quad \text{其中} \quad \mathbf{N} = \mathbf{N}_l\mathbf{N}_d \quad (16)$$

在Eq. 16中, \mathbf{N} 是 [2]中介绍的 $6n \times n$ 的NOC矩阵, 其分解形式 $\mathbf{N} = \mathbf{N}_l\mathbf{N}_d$ 在这里被称作解耦自然正交补矩阵(decoupled natural orthogonal complement) [3], 其中的 $6n \times 6n$ 的下三角矩阵 \mathbf{N}_l 和 $6n \times n$ 的分块对角阵 \mathbf{N}_d 由下面的式子给出:

$$\mathbf{N}_l = \begin{bmatrix} \mathbf{1} & \mathbf{O} & \cdots & \mathbf{O} \\ \mathbf{B}_{21} & \mathbf{1} & \cdots & \mathbf{O} \\ \vdots & \vdots & \ddots & \vdots \\ \mathbf{B}_{n1} & \mathbf{B}_{n2} & \cdots & \mathbf{1} \end{bmatrix} \quad \text{and} \quad (17)$$

$$\mathbf{N}_d = \begin{bmatrix} \mathbf{p}_1 & \mathbf{0} & \cdots & \mathbf{0} \\ \mathbf{0} & \mathbf{p}_2 & \cdots & \mathbf{0} \\ \vdots & \vdots & \ddots & \vdots \\ \mathbf{0} & \mathbf{0} & \cdots & \mathbf{p}_n \end{bmatrix}$$

其中使用了矩阵 \mathbf{B}_{ij} 的前两个性质。另外, \mathbf{O} 和 $\mathbf{0}$ 分别是 6×6 零矩阵和六维零向量。矩阵 \mathbf{N}_l 和 \mathbf{N}_d 是 [4]中的空间算子(spatial operator), 它们分别是 "anti-causal"和 "memory-less"的非递归算子。

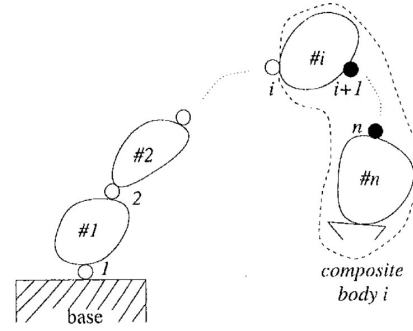


Fig. 1 串联n体机械臂示意图

2.3 将运动学约束代入运动的牛顿-欧拉方程。在Eq. 9前左乘 \mathbf{N}^T , 即:

$$\mathbf{N}^T(\mathbf{M}\dot{\mathbf{t}} + \dot{\mathbf{M}}\mathbf{t}) = \mathbf{N}^T(\mathbf{w}^E + \mathbf{w}^I) \quad (18)$$

其中 \mathbf{w} 由 $\mathbf{w} \equiv \mathbf{w}^E + \mathbf{w}^I$ 替换—— \mathbf{w}^E 和 \mathbf{w}^I 分别是广义的外部力和内部所受约束力。由于受约束的力矩和力不做功, 因此 $\mathbf{t}^T\mathbf{w}^I$ 项被消去, 即 $\mathbf{t}^T\mathbf{w}^I = \dot{\boldsymbol{\theta}}^T\mathbf{N}^T\mathbf{w}^I = \mathbf{0}$ 。这说明对于独立的 $\dot{\boldsymbol{\theta}}$, $\mathbf{N}^T\mathbf{w}^I = \mathbf{0}$, 因此, Eq. 18被重写为:

$$\mathbf{N}^T(\mathbf{M}\dot{\mathbf{t}} + \dot{\mathbf{M}}\mathbf{t}) = \mathbf{N}^T\mathbf{w}^E \quad (19)$$

注意, 为了消除Eq. 9中耦合的牛顿-欧拉方程中的受约束的wrench, 像Eq. 16中一样将广义twist(即 \mathbf{t})写作独立广义速度的线性变换是很重要的。

2.4 将运动学约束代入运动的牛顿-欧拉方程。将 \mathbf{t} 的表达式Eq. 16及其关于时间的微分 (即 $\dot{\mathbf{t}} = \mathbf{N}\ddot{\boldsymbol{\theta}} + \dot{\mathbf{N}}\dot{\boldsymbol{\theta}}$) 代入Eq. 19, 得到的结果为下面的受约束的运动的动力学方程:

$$\mathbf{I}\ddot{\boldsymbol{\theta}} + \mathbf{C}\dot{\boldsymbol{\theta}} = \boldsymbol{\tau} \quad (20)$$

其中:

$\mathbf{I} \equiv \mathbf{N}^T\mathbf{M}\mathbf{N} \equiv \mathbf{N}_d^T\tilde{\mathbf{M}}\mathbf{N}_d$: $n \times n$ 的广义惯量矩阵(generalized inertia matrix, GIM)

$\mathbf{C} \equiv \mathbf{N}^T(\mathbf{M}\dot{\mathbf{N}} + \dot{\mathbf{M}}\mathbf{N}) \equiv \mathbf{N}_d^T\tilde{\mathbf{M}}'\mathbf{N}_d$: $n \times n$ 的convective inertia matrix¹

$\boldsymbol{\tau} \equiv \mathbf{N}^T\mathbf{w}^E \equiv \mathbf{N}_d^T\tilde{\mathbf{w}}^E$: n 维的取决于驱动力、重力和耗散的广义力向量

\mathbf{M} , \mathbf{M}' 和 $\tilde{\mathbf{w}}^E$ 的表达式和研究系统的复合体有关, 并将在之后的章节中推导。注意Eq. 20本质上是从解耦的牛顿-欧拉方程(如Eq. 9)中得到的运动的欧拉-拉格朗日方程。此外, 如在 [2]中介绍的那样, 自然正交补矩阵 \mathbf{N} 的使用不允许对Eq. 20中的表达式(即矩阵 \mathbf{I} , \mathbf{C} 和向量 $\boldsymbol{\tau}$)进行进一步的简化。因此在这一步的动力学分析中需要使用计算机算法。或者如在5.1和5.2章中给出的方法, 根据在Eq. 16中的解耦自然正交补矩阵, 得到矩阵 \mathbf{I} , \mathbf{C} 和 $\boldsymbol{\tau}$ 中每一元素的解析的迭代表达式, 上述方法的计算复杂度是 n 阶的 (即 $\mathcal{O}(n)$), 并给出了很多物理理解(如在Eqs. 14, 17, 23b, 50之后)。

3 \mathbf{I} , \mathbf{C} 和 $\boldsymbol{\tau}$ 的解析表达式

接下来推导 \mathbf{I} , \mathbf{C} 和 $\boldsymbol{\tau}$ 的表达式。这些表达式是统一的反向和正向动力学递推算法的基础。和其他方法不同 (如 [5]等), 其中的free-body图和牛顿-欧拉方程用于得到反向动力学算法, 而欧拉-拉格朗日方程用于得到前向动力学。这里仅使用一套方程, 即Eqs. 20, 24, 29和30

¹ \mathbf{C} 矩阵对应着科氏力和离心力

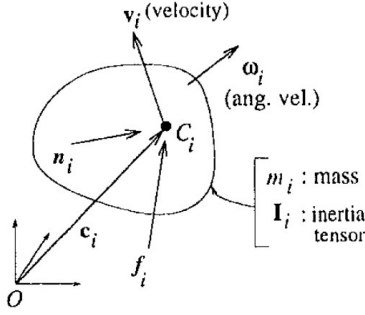


Fig. 2 第i个刚体的Free-body图

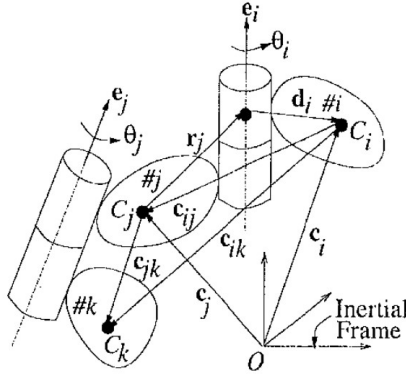


Fig. 3 耦合系统示意图

3.1 I矩阵的推导. 对NOC使用DeNOC的表达式 (即 $\mathbf{N} \equiv \mathbf{N}_l \mathbf{N}_d$, 如在Eq. 17中) 代入矩阵 $\mathbf{I} \equiv \mathbf{N}^T \mathbf{M} \mathbf{N}$, 正如Eq. 20后给出的那样, 可以得到

$$\mathbf{I} \equiv \mathbf{N}_d^T \tilde{\mathbf{M}} \mathbf{N}_d, \quad \text{where} \quad \tilde{\mathbf{M}} \equiv \mathbf{N}_l^T \mathbf{M} \mathbf{N}_l \quad (21)$$

其中的 $6n \times 6n$ 对称矩阵 $\tilde{\mathbf{M}}$ 由下面的式子给出:

$$\tilde{\mathbf{M}} \equiv \begin{bmatrix} \tilde{\mathbf{M}}_1 & \mathbf{B}_{21}^T \tilde{\mathbf{M}}_2 & \cdots & \mathbf{B}_{n1}^T \tilde{\mathbf{M}}_n \\ \tilde{\mathbf{M}}_2 \mathbf{B}_{21} & \tilde{\mathbf{M}}_2 & \cdots & \mathbf{B}_{n2}^T \tilde{\mathbf{M}}_n \\ \vdots & \vdots & \ddots & \vdots \\ \tilde{\mathbf{M}}_n \mathbf{B}_{n1} & \tilde{\mathbf{M}}_n \mathbf{B}_{n2} & \cdots & \tilde{\mathbf{M}}_n \end{bmatrix} \quad (22)$$

其中的 6×6 矩阵 $\tilde{\mathbf{M}}_i, i = 1, \dots, n$, 定义为

$$\tilde{\mathbf{M}}_i \equiv \mathbf{M}_i + \sum_{k=i+1}^n \mathbf{B}_{ki}^T \mathbf{M}_k \mathbf{B}_{ki} \quad (23a)$$

注意Eq. 23a中对于索引 $k = i+1, \dots, n$ 的求和, 一个利用Eq. 23a对于 $i = 1, \dots, n$ 求和的算法显然需要 n^2 阶的计算复杂度。然而, 观察Eq. 23a并利用Eq. 14中 \mathbf{B}_{ij} 的前两个性质可以发现上述的求和式可以迭代地计算, 即对于 $i = n, \dots, 1$, 有: $\sum_{k=i+1}^n \mathbf{B}_{ki}^T \mathbf{M}_k \mathbf{B}_{ki} \equiv \mathbf{B}_{i+1,i}^T \tilde{\mathbf{M}}_{i+1} \mathbf{B}_{i+1,i}$, 因为在系统中没有第 $(n+1)$ 个连杆, 有 $\tilde{\mathbf{M}}_{n+1} \equiv \mathbf{O}$ 。因此, Eq. 23a具有如下的迭代关系:

$$\tilde{\mathbf{M}}_i \equiv \mathbf{M}_i + \mathbf{B}_{i+1,i}^T \tilde{\mathbf{M}}_{i+1} \mathbf{B}_{i+1,i} \quad \text{where} \quad \tilde{\mathbf{M}}_n \equiv \mathbf{M}_n. \quad (23b)$$

6×6 矩阵 $\tilde{\mathbf{M}}_i$ 是复合体 i (composite body) 的质量矩阵, 即 $\tilde{\mathbf{M}}_i$ 表征着由 $(n-i+1)$ 个刚性连接的物体的质量和惯量属性, 即刚体 $\#i, \dots, \#n$, 正如Fig. 1中使用虚线画出的部分那样。Eq. 20中正定矩阵GIM(即 \mathbf{I}) 中元素的表达式由下面的式子给出: 对于 $i = 1, \dots, n$ 和 $j = 1, \dots, i$

$$i_{ij} = i_{ji} = \mathbf{p}_i^T \tilde{\mathbf{M}}_i \mathbf{B}_{ij} \mathbf{p}_j \quad (24)$$

3.2 C矩阵的推导. 对自然正交补及其时间导数使用DeNOC的表达式, 即 $\mathbf{N} \equiv \mathbf{N}_l \mathbf{N}_d$ 和 $\dot{\mathbf{N}} \equiv \dot{\mathbf{N}}_l \mathbf{N}_d + \mathbf{N}_l \dot{\mathbf{N}}_d$ 。如Eq. 20后定义, 矩阵 $\mathbf{C} [\equiv \mathbf{N}^T (\mathbf{M} \dot{\mathbf{N}} + \mathbf{M} \dot{\mathbf{N}})]$ 是convective inertia的广义矩阵, 它由下面的式子得到:

$$\mathbf{C} \equiv \mathbf{N}_d^T \tilde{\mathbf{M}}' \mathbf{N}_d, \quad \text{where} \quad \tilde{\mathbf{M}}' \equiv \mathbf{N}_l^T \mathbf{M} \dot{\mathbf{N}}_l + \tilde{\mathbf{M}} \boldsymbol{\Omega} + \tilde{\mathbf{M}} \quad (25)$$

上式中已经代入了下面的式子

$$\dot{\mathbf{N}}_d \equiv \boldsymbol{\Omega} \quad \text{and} \quad \tilde{\mathbf{M}} = \mathbf{N}_l^T \mathbf{M} \mathbf{N}_l \quad (26)$$

上式中的 $6n \times 6n$ 矩阵 $\boldsymbol{\Omega}$ 已经在Eq. 4中定义。在Eq. 25中分块对角阵 \mathbf{M} 和 $\boldsymbol{\Omega}$ 的乘积计算较为简便。而矩阵 \mathbf{A} 和 \mathbf{B} 的表达式在下面给出:

$$\mathbf{N}_l^T \mathbf{M} \dot{\mathbf{N}}_l \equiv \begin{bmatrix} \mathbf{B}_{21}^T \tilde{\mathbf{H}}_{21} & \cdots & \mathbf{B}_{n1}^T \tilde{\mathbf{H}}_{n,n-1} & \mathbf{0} \\ \tilde{\mathbf{H}}_{21} & \cdots & \mathbf{B}_{n2}^T \tilde{\mathbf{H}}_{n,n-1} & \mathbf{0} \\ \vdots & \ddots & \vdots & \vdots \\ \tilde{\mathbf{H}}_{n-1,1} & \cdots & \mathbf{B}_{n2}^T \tilde{\mathbf{H}}_{n,n-1} & \mathbf{0} \end{bmatrix} \quad \text{and} \quad (27)$$

$$\tilde{\mathbf{M}} \equiv \begin{bmatrix} \tilde{\mathbf{M}}_1 & \tilde{\mathbf{M}}_2 & \cdots & \tilde{\mathbf{M}}_n \\ \tilde{\mathbf{M}}_2 & \tilde{\mathbf{M}}_2 & \cdots & \tilde{\mathbf{M}}_n \\ \vdots & \vdots & \ddots & \vdots \\ \tilde{\mathbf{M}}_n & \tilde{\mathbf{M}}_n & \cdots & \tilde{\mathbf{M}}_n \end{bmatrix},$$

其中³ 的 6×6 矩阵 $\tilde{\mathbf{M}}_i$ 和 $\tilde{\mathbf{H}}_{ij}, i = 1, \dots, n; j = 1, \dots, i-1$ 由下面的式子计算。

$$\tilde{\mathbf{M}}_i = \mathbf{M}_i + \tilde{\mathbf{M}}_{i+1} \quad \text{and} \quad \tilde{\mathbf{H}}_{ij} \equiv \tilde{\mathbf{M}}_i \mathbf{B}_{ij} + \mathbf{B}_{i+1,i}^T \tilde{\mathbf{H}}_{i+1,i} \quad (28)$$

其中 $\tilde{\mathbf{M}}_{n+1} = \tilde{\mathbf{H}}_{n+1,n} = \mathbf{O}$, 因此 $n \times n$ 矩阵 \mathbf{M} 的元素 $c_{ij}, i, j = 1, \dots, n$, 为:

$$c_{ij} = \begin{cases} \mathbf{p}_i^T (\mathbf{B}_{ji}^T \tilde{\mathbf{M}}_j \boldsymbol{\Omega}_j + \mathbf{B}_{j+1,i}^T \tilde{\mathbf{H}}_{j+1,j} + \tilde{\mathbf{M}}_j) \mathbf{p}_j & \text{if } i \leq j \\ \mathbf{p}_i^T (\tilde{\mathbf{M}}_i \mathbf{B}_{ij} \boldsymbol{\Omega}_j + \tilde{\mathbf{H}}_{ij} + \tilde{\mathbf{M}}_i) \mathbf{p}_j & \text{otherwise.} \end{cases} \quad (29)$$

3.3 τ 矩阵的推导. 对于广义力和力矩的向量 τ , 由Eq. 20后的表达式, 对于 $i = 1, \dots, n$

$$\tau_i = \mathbf{p}_i^T \tilde{\mathbf{w}}_i^E, \quad \text{where} \quad \tilde{\mathbf{w}}_i^E = \mathbf{w}_i^E + \mathbf{B}_{i+1,i}^T \tilde{\mathbf{w}}_{i+1}^E \quad (30)$$

其中 $\tilde{\mathbf{w}}_i^E$ 是六维向量, 组成了 $6n$ 维向量 $\tilde{\mathbf{w}}^E$, 即:

$$\tilde{\mathbf{w}}^E \equiv \left[(\tilde{\mathbf{w}}_1^E)^T, \dots, (\tilde{\mathbf{w}}_n^E)^T \right]^T \quad (31)$$

注意在Eq. 30中, 当末端执行器没有任何外力矩和外力的时候, $\tilde{\mathbf{w}}_n^E = \mathbf{0}$ 。

References

- [1] Rodriguez, G., 1987, "Kalman filtering, smoothing, and recursive robot arm forward and inverse dynamics," *IEEE Journal on Robotics and Automation*, **3**(6), pp. 624–639.
- [2] Angeles, J. and Lee, S. K., 1988, "The Formulation of Dynamical Equations of Holonomic Mechanical Systems Using a Natural Orthogonal Complement," *Journal of Applied Mechanics*, **55**(1), pp. 243–244.
- [3] Saha, S., 1997, "A decomposition of the manipulator inertia matrix," *IEEE Transactions on Robotics and Automation*, **13**(2), pp. 301–304.
- [4] Rodriguez, G. and Kreutz-Delgado, K., 1992, "Spatial operator factorization and inversion of the manipulator mass matrix," *IEEE Transactions on Robotics and Automation*, **8**(1), pp. 65–76.
- [5] Siciliano, B. and Villani, L., 1996, "Adaptive compliant control of robot manipulators," *Control Engineering Practice*, **4**(5), pp. 705–712.

²在Eq. 25中为 $\tilde{\mathbf{M}}$, 而在Eq. 22的式子中矩阵 $\tilde{\mathbf{M}}$ 不是分块对角阵

³ $\tilde{\mathbf{M}}$ 矩阵的表达式可能有作者笔误